



UNIFOR

**UNIVERSIDADE DE FORTALEZA
CENTRO DE CIÊNCIAS TECNOLÓGICAS
CURSO DE GRADUAÇÃO EM CIÊNCIA DA COMPUTAÇÃO**

DANIEL ARAGÃO ABREU FILHO

**BUSCA DE MELHOR CAMINHO ENTRE MÚLTIPLAS ORIGENS E MÚLTIPLOS
DESTINOS EM REDES COMPLEXAS QUE REPRESENTAM CIDADES**

Ficha catalográfica da obra elaborada pelo autor através do programa de geração automática da Biblioteca Central da Universidade de Fortaleza

Abreu Filho, Daniel.

BUSCA DE MELHOR CAMINHO ENTRE MÚLTIPLAS ORIGENS E MÚLTIPLOS DESTINOS EM REDES COMPLEXAS QUE REPRESENTAM CIDADES / Daniel Abreu Filho. - 2019
37 f.

Trabalho de Conclusão de Curso (Graduação) - Universidade de Fortaleza. Curso de Ciência Da Computação, Fortaleza, 2019.
Orientação: Carlos Caminha.

1. Grafos. 2. Redes Complexas. 3. Algoritmo A*. 4. Floyd-Warshall. I. Caminha, Carlos. II. Título.

**BUSCA DE MELHOR CAMINHO ENTRE MÚLTIPLAS ORIGENS E
MÚLTIPLOS DESTINOS EM REDES COMPLEXAS QUE
REPRESENTAM CIDADES**

DANIEL ARAGÃO ABREU FILHO

PARECER: APROVADO

Data: 09 / 12 / 2019

BANCA EXAMINADORA:

Caio César Ponte Silve

CAIO CÉSAR PONTE SÍLVA, Me.

Luciano Heitor Gallegos Marin

LUCIANO HEITOR GALLÉGOS MARIN, Dr.

Ed L Olh Et Nt,

CARLOS DE OLIVEIRA CAMINHA NETO, Dr.
Orientador(a)

Liadina

Prof^a. Liadina Camargo Lima, Ma.
Coordenadora do Curso de Ciência da Computação

RESUMO

Foi investigado neste trabalho o uso de uma estratégia de busca em um problema para encontrar o melhor caminho entre múltiplas origens e múltiplos destinos. Nesse tipo de problema deve-se decidir entre várias combinações possíveis qual é a melhor origem e o melhor destino, além do melhor caminho entre esses dois locais. Uma dificuldade notável de se resolver problemas de múltiplas origens e destinos é realizar a busca em tempo reduzido. Esta monografia é uma extensão de uma pesquisa anterior onde o problema descrito foi estudado apenas em uma rede de ônibus da cidade de Fortaleza. Esta extensão consistiu em explorar essa estratégia de busca em grafos que representam a estrutura das vias públicas das cidades de Fortaleza, Mumbai e Tóquio. Ao utilizar essa estratégia juntamente com um algoritmo heurístico, distância de Haversine, foi constatado que é possível diminuir consideravelmente o tempo de busca, porém introduzindo um erro causado pela perda da característica admissível da heurística adotada.

Palavras-Chave: Grafos. Redes Complexas. Algoritmo A*. Algoritmo Floyd-Warshall.

ABSTRACT

Was investigated in this paper the use of a search strategy in the problem of finding the best path among multiple origins and multiple destinations. In this kind of problem, it must be decided within a lot of combinations which is the best origin and the best destination, and also the best path between these two regions. One remarkable difficulty to answer this sort of problem is to perform the search in a reduced time. This monography is a extension of previous research in which the problem described here was studied only in a bus network in the city of Fortaleza. This extension consisted of an exploration of the search strategy in graphs that represent public ways in cities like Fortaleza, Mumbai and Tokyo. Using this strategy with a heuristic algorithm, Haversine distance, was noticed that is possible to reduce substantially the time of the search, but introducing an error because of the loss of the admissible characteristic of the heuristic function applied.

Keywords: Graphs. Complex Networks. A* Algorithm. Floyd-Warshall Algorithm.

LISTA DE ILUSTRAÇÕES

Figura 1 – Exemplo de um usuário de ônibus com três possibilidades de paradas possíveis na origem e mais três no destino, de acordo com o quanto ele está disposto a andar.	12
Figura 2 – Grafo formado pelo conjunto de Vértices = {V1, V2, V3, V4, V5} e arestas = {E1, E2, E3, E4}	14
Figura 3 – Grafo com dois componentes conexos {1, 2, 4, 5} e {3, 6}	15
Figura 4 – Exemplo de grafo regular com entropia próxima ou igual a zero. Obs.: as arestas das bordas estão sendo omitidas por questão de visualização.	17
Figura 5 – Rede aleatória com entropia próxima ou igual a um. Obs.: as arestas das bordas estão sendo omitidas por questão de visualização.	17
Figura 6 – Exemplo de grafo mundo pequeno com $p = 0,1$. Obs.: as arestas das bordas estão sendo omitidas por questão de visualização.	18
Figura 7 – Exemplo de grafo mundo pequeno com $p = 0,5$. Obs.: as arestas das bordas estão sendo omitidas por questão de visualização.	18
Figura 8 – Exemplo de grafo livre de escala. Obs.: as arestas das bordas estão sendo omitidas por questão de visualização.	19
Figura 9 – Propriedade dos grafos <i>Ring</i> (regular), <i>Random</i> (Aleatório), <i>Small World</i> (Mundo pequeno), <i>Scale free</i> (Livre de escala).	20
Figura 10 – Exemplo de caminho.	20
Figura 11 – Demonstração da propriedade da consistência em uma heurística definida como uma função de distância euclidiana.	21
Figura 12 – Tendo a origem como o vértice v1 e o destino o vértice v5, durante a busca com o vértice v3 selecionado temos o valor em destaque de $g(v_3)$ e de $h(v_3)$ totalizando $f(v_3) = 12$	22
Figura 13 – Processo de colapsar vértices.	23
Figura 14 – Uma busca que encontra uma heurística maior que o resultado final escolhido.	24
Figura 15 – Mapas das cidades representados em vértices, onde os eixos são as latitudes e longitudes das cidades.	28
Figura 16 – Tempo de execução para cada cidade em função do raio.	31
Figura 17 – Logaritmo do tempo de execução para cada cidade em função do raio.	32

Figura 18 – Quantidade de nós colapsados por cidade.	33
Figura 19 – Acurácia por cidade. Representando o percentual de caminhos ótimos formados	34
Figura 20 – Erro máximo por cidade.	34
Figura 21 – Erro médio por cidade.	35

LISTA DE TABELAS

Tabela 1 – Número de vértices e arestas para cada grafo de cidade baixada	27
Tabela 2 – Configuração do servidor utilizado	30
Tabela 3 – Tempo em horas e dias para execução de cada estratégia para cada cidade	32

LISTA DE QUADROS

Quadro 1 – Comparaço entre as topologias com base nas propriedades apresentadas.	19
--	----

SUMÁRIO

1	INTRODUÇÃO	11
1.1	MOTIVAÇÃO	12
1.2	OBJETIVOS	13
1.2.1	Objetivo Geral	13
1.2.2	Objetivos Específicos	13
1.3	ESTRUTURA DO TRABALHO	13
2	FUNDAMENTAÇÃO TEÓRICA	14
2.1	GRAFOS	14
2.2	REDES COMPLEXAS	15
2.2.1	Propriedades	15
2.2.2	Topologias de redes/Tipos de redes complexas	16
2.3	CAMINHOS E BUSCAS	19
2.3.1	Algoritmos de Buscas	19
2.3.1.1	Algioritmo Heurístico	20
2.3.1.2	Busca A*	21
2.3.2	Colapsar ou <i>Coarsening</i>	22
2.3.2.1	Heurística não admissível	23
2.4	ALGORITMO FLOYD-WARSHALL	24
3	TRABALHOS RELACIONADOS	25
4	METODOLOGIA E CONJUNTO DE DADOS	27
5	RESULTADOS	31
6	CONCLUSÕES E TRABALHOS FUTUROS	36
6.1	CONTRIBUIÇÕES DO TRABALHO	36
6.2	LIMITAÇÕES	36
6.3	TRABALHOS FUTUROS	36
	REFERÊNCIAS	38

1 INTRODUÇÃO

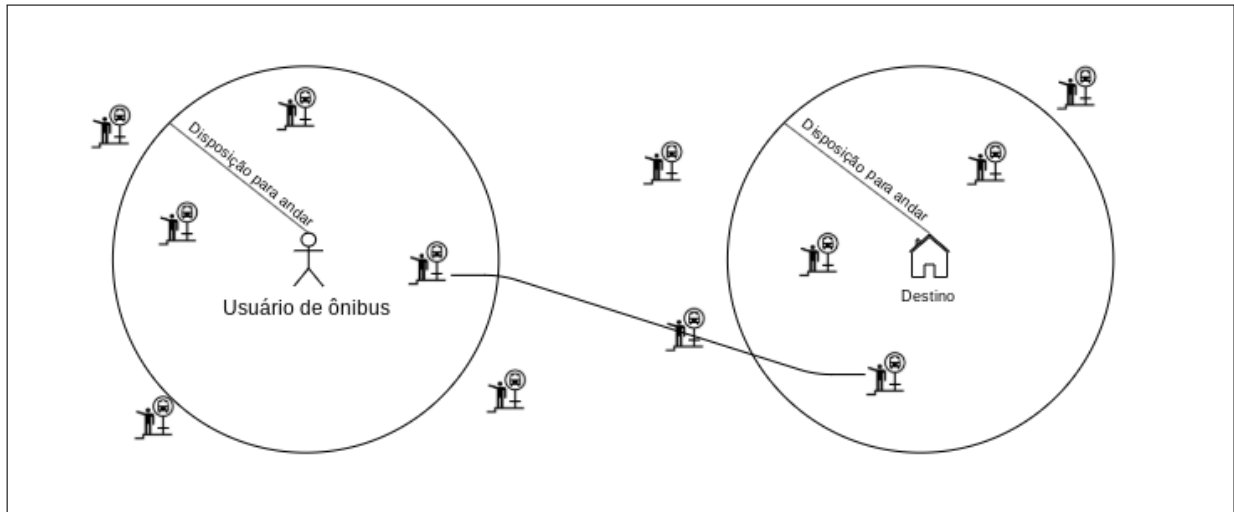
Na literatura é possível encontrar diversas questões relacionadas a estrutura de grafos, dentre elas o problema de busca de melhor caminho, uma classe de problemas bastante conhecida e com muitas aplicações. Algumas variações desse problema são *single source*, na qual tem como objetivo encontrar um caminho de um vértice de origem para todos os outros vértices do grafo, e *point-to-point*, retratado como um problema de encontrar o menor caminho entre dois vértices específicos. Dentre as questões de busca, o chamado de P2P (*Point to Point Shortest Path Problem*) consiste na busca do menor caminho entre dois vértices e pode ser resolvido por vários algoritmos conhecidos, como busca em largura, de custo uniforme, de aprofundamento iterativo e, busca A*, por exemplo (GOLDBERG; WERNECK, 2005; HENZINGER; KRINNINGER; NANONGKAI, 2016; BAST *et al.*, 2016).

Dentro dessa classe de problemas P2P, é possível classificar os algoritmos em dois tipos: buscas cegas e buscas com informação. Neste estudo, no entanto, foi baseado na busca com informação ou heurística que por sua vez, utiliza-se de informações prévias sobre o problema, além das suas próprias definições para decidir qual o passo mais útil a ser seguido em determinado instante de uma busca, por exemplo neste trabalho foi utilizada a distância de linha reta na terra, a distância de Haversine, juntamente da posições geográficas informadas, para decidir qual o próximo passo da busca (RUSSEL, 2004). Sendo assim, a busca A* é uma das mais conhecidas e que se utiliza de uma função heurística para encontrar resultados ótimos com menores valores de tempo.

Os estudos apontam diversas soluções para resolver os problemas P2P, porém o mesmo não pode se afirmar a respeito de problemas de Múltiplas Origens e Múltiplos Destinos (MOMD). O MOMD, é detalhado como uma busca entre duas áreas de um grafo e não só dois vértices, no qual uma área pode conter um ou mais vértices (BARTÁK; DOVIER; ZHOU, 2016). Essa característica pode ser observada na Figura 1

Para contextualizar o problema de MOMD, imagina-se uma cidade onde existe um usuário de ônibus que deseja chegar ao seu destino através de uma linha de ônibus qualquer a partir de sua origem. Porém, esse usuário deve escolher entre diversos pontos de ônibus de acordo com a sua disponibilidade para andar, gerando diversas possibilidades de paradas em que ele pode embarcar. Além disso, o mesmo se aplica ao destino, em que há várias paradas de ônibus nas quais o usuário pode desembarcar de acordo com a sua disponibilidade para andar até o seu objetivo. Esse cenário pode ser observado na Figura 1.

Figura 1 – Exemplo de um usuário de ônibus com três possibilidades de paradas possíveis na origem e mais três no destino, de acordo com o quanto ele está disposto a andar.



Fonte – Elaborado pelo autor

Compreendendo a situação descrita acima, torna-se relevante afirmar que diversos elementos perpassam essa circunstância, visto que, em uma mesma cidade podem existir pessoas com diferentes posições de origens e destinos, assim como, diferentes disposições para se locomover. Dessa forma, precisa ser delineado diferentes raios para cada individuo, alternando a quantidade de origens e destinos disponíveis em cada busca.

Um estudo sobre esse tipo de problema MOMD para a rede de ônibus da cidade de Fortaleza modelou as paradas de ônibus como vértices e linhas de ônibus como arestas, e utilizou uma estratégia de busca na qual as regiões de vértices de origem e de destino são agrupadas em dois super vértices, para, então, executar o algoritmo de busca A* entre esses dois super vértices (PONTE; CAMINHA; FURTADO, 2016). Foi observado que a busca deixa de ser ótima, mas ainda mantém uma acurácia e um desempenho satisfatórios, com baixos valores de erro.

1.1 MOTIVAÇÃO

A solução, porém, explora apenas a rede de ônibus da cidade de Fortaleza, criando a necessidade de uma reavaliação da estratégia proposta. Isso pode se tornar possível ao modificar os tipos de grafos utilizados e ainda sim, seria possível evidenciar resultados favoráveis para a estratégia proposta.

A proposta de construção deste trabalho surgiu a partir da demanda de conhecimentos sobre as estratégias do uso de redes distintas, em diferentes contextos de variabilidade de

tamanhos. De forma que, proporcionou um maior conhecimento sobre as propriedades de redes complexas através do uso de redes sintéticas. Dessa forma, busca-se investigar a possibilidade da utilização de um algoritmo de transporte mais rápido que possa ser aplicado em diferentes cenários, promovendo, então, um maior conhecimento sobre essa temática no âmbito científico ao se expandir as possibilidades de aplicabilidade.

1.2 OBJETIVOS

1.2.1 Objetivo Geral

Estender o trabalho de Ponte *et al* (2016), buscando avaliar a utilização dessa estratégia em redes de cidades reais, assim como, propor diferentes cenários para avaliação que podem variar em topologia e tamanho.

1.2.2 Objetivos Específicos

- Verificar se as cidades reais têm topologias similares aos das topologias de redes complexas clássicas ao comparar redes reais e sintéticas.
- Compreender como as propriedades de redes complexas podem afetar o modelo proposto por Ponte *et al* (2016) mediante o uso das redes sintéticas.

1.3 ESTRUTURA DO TRABALHO

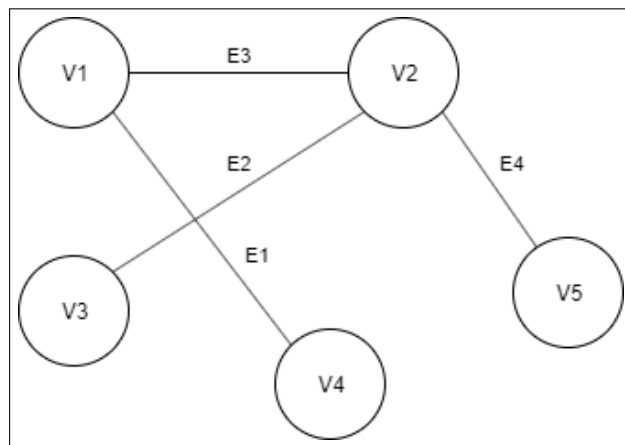
Esse trabalho é composto por sete partes. A primeira é a Introdução, seguida pela Fundamentação Teórica, a qual é introduzindo conceitos como grafo, buscas e redes complexas. Já a terceira parte, referencia-se ao estado da arte, baseando-se nos trabalhos relacionados, explicando mais detalhadamente sobre a estratégia desenvolvida por Ponte *et al* (2016). O quarto refere-se à metodologia que será adotada nesta pesquisa. Os últimos três capítulos são referentes aos Resultados, Discussão e Conclusão, respectivamente.

2 FUNDAMENTAÇÃO TEÓRICA

2.1 GRAFOS

Os grafos são estruturas de dados essenciais para entender o que é uma rede complexa. Essas estruturas podem ser definidas por $G = (V, E)$, em que V é um conjunto de vértices e E um conjunto de arestas que ligam esses vértices, ou seja cada $e \in E$ é um par não ordenado de vértices $\{v, w\}$, em que $v, w \in V$ (FEOFILLOFF; KOHAYAKAWA; WAKABAYASHI, 2011). Isso pode ser observado na estrutura de um grafo na Figura 2 abaixo.

Figura 2 – Grafo formado pelo conjunto de Vértices = {V1, V2, V3, V4, V5} e arestas = {E1, E2, E3, E4}

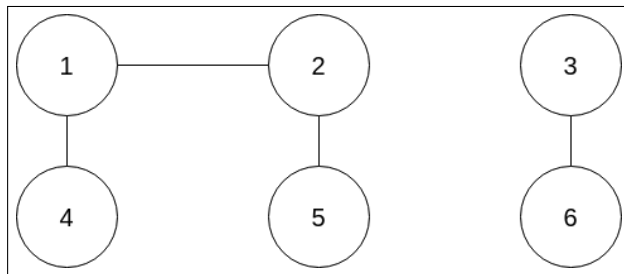


Fonte – Elaborado pelo autor

Os grafos são capazes de representar abstrações de ambientes e sistemas reais. Para navegar nessa estrutura, surge o conceito de caminho, este é descrito como a junção de um conjunto de vértices e de arestas que une o ponto de origem ao de destino (NEWMAN, 2010). Porém, em um grafo nem sempre existe um caminho entre dois vértices, como pode ser observado na Figura 3, visto que não é possível traçar um caminho do vértice 1 para o vértice 6.

Quando não há caminho entre dois vértices, destaca-se que o vértice de origem e de destino estão em componentes conexos distintos, é definido como um subgrafo do grafo original que possui caminhos que interliguem todos os vértices. Dessa forma, em um grafo não dirigido para todo vértice A de um componente conexo e para todo vértice B do mesmo componente, sempre haverá um caminho entre A e B ou B e A (CHRISPINO *et al.*, 2013). Ao observar na Figura 3 os componentes distintos, evidencia-se que é impossível chegar no vértice 3 partindo-se do vértice 4, ou seja, eles pertencem a diferentes componentes conexos. Ademais, vale destacar

Figura 3 – Grafo com dois componentes conexos $\{1, 2, 4, 5\}$ e $\{3, 6\}$



Fonte – Elaborado pelo autor

o componente gigante de uma rede como o que possui o maior número de vértices (CHRISPINO *et al.*, 2013), este componente é uma estrutura composta por um número de vértices que aumenta proporcionalmente ao crescimento do número de vértices do grafo e, como também, contém quase todos os vértices do grafo (NEWMAN, 2010).

2.2 REDES COMPLEXAS

As redes complexas são estruturas que podem exprimir comportamentos. Isso pode ser exemplificado através de uma rede que representa o sistema nervoso, em que os vértices são as células nervosas que, ao mesmo tempo, transmitem sensações em escalas macroscópicas, e sinapses nervosas em escalas microscópicas (SAYAMA, 2015). Essas redes apresentam classificações que serão posteriormente contextualizadas no Tópico 2.2.2.

Ainda sobre esse tipo de estrutura de redes complexas, pode-se destacar outros exemplos, como as redes de cadeias alimentares ou a internet. Estas são redes que possuem numerosos componentes interagindo entre si e com a sua própria organização, como também, evoluem no tempo em tamanho e em forma podendo gerar novos comportamentos. Além disso, por muito tempo supôs-se que eram sistemas aleatórios, entretanto, são regidos por complexas formas de organização (SAYAMA, 2015; ALBERT; BARABÁSI, 2002).

2.2.1 Propriedades

Algumas propriedades são usadas comumente para caracterizar essas redes complexas. O primeiro conceito da lista é a entropia de *shannon*, advinda da área de teoria da informação, uma medida que traz uma taxa de surpresa (VAJAPEYAM, 2014). A entropia é um número real positivo utilizado para tentar prever qual o valor de uma variável conhecida baseada no histórico de valores já gerados. Deste modo, é possível informar quão aleatória é a estrutura

de um grafo baseando-se na distribuição dos possíveis valores de graus dos vértices do grafo (LEWIS, 2009a), sendo o grau o número de arestas que incidem em um vértice (OLIVEIRA *et al.*, 2012). Uma outra propriedade relevante é o conceito de *hub*, conceito que representa os vértices com grande quantidade de arestas (LEWIS, 2009a) conectadas a eles.

Entre as principais características de uma rede, têm-se o comprimento de caminho médio, definido pela média de arestas do menor caminho entre cada par de vértices de um grafo, ou seja, é a média da quantidade de saltos que são necessários para se alcançar um vértice qualquer a partir de um outro vértice qualquer da mesma rede (WANG; CHEN, 2003; LEWIS, 2009a).

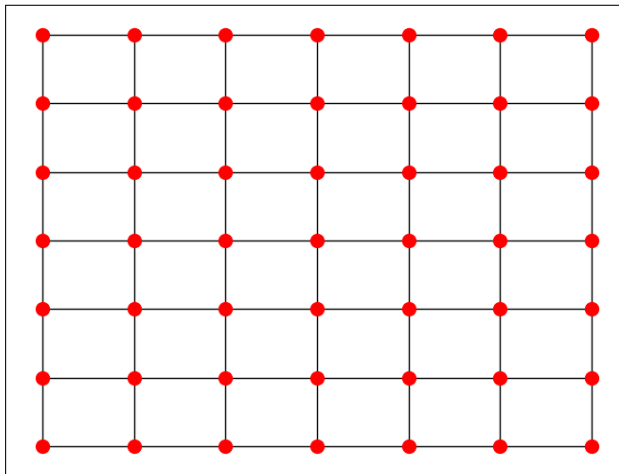
Sobre a última propriedade, o coeficiente de *cluster* mede quão aglomerado é o grafo por meio do cálculo da média de C para cada vértice da rede: $C = 2 \cdot n/k \cdot (k - 1)$, sendo k a quantidade de vizinhos do vértice e n o número de arestas entre os k vizinhos do vértice (RAVASZ; BARABÁSI, 2003; WANG; CHEN, 2003; NEWMAN, 2010). Portanto, é usado que para definir o quanto os vértices estão conectados.

2.2.2 Topologias de redes/Tipos de redes complexas

As redes complexas podem ser classificadas em quatro topologias básicas: regular, aleatória, mundo pequeno e livre de escala. O formato mais simples seria a de um grafo regular que possui um padrão de distribuição de suas arestas. Na mesma quantidade para cada vértice, ou seja, uma entropia igual a zero, já que na entropia de *shannon* possui o 1 como o grau de aleatoriedade máxima (LEWIS, 2009a). Na Figura 4, todos os vértices têm o mesmo número de arestas, representando o grafo regular. Ao contrário dele tem-se o grafo aleatório, entropia próxima de 1, onde para cada vértice no grafo há uma possibilidade de conexão com outro vértice, perdendo o padrão de distribuição apresentado pelo regular, como mostra a Figura 5 (LEWIS, 2009a; ANTIQUEIRA *et al.*, 2005).

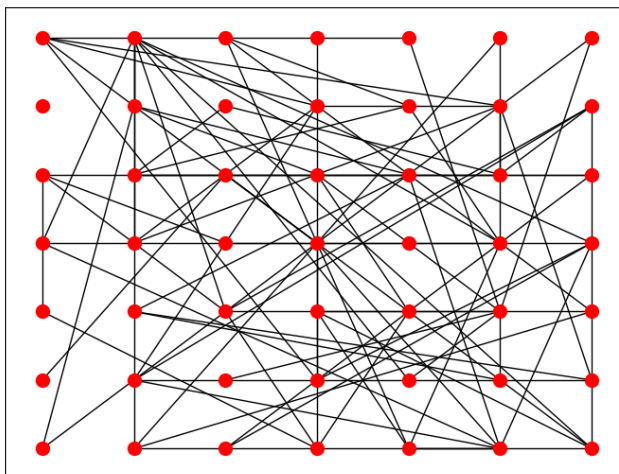
A próxima topologia que será abordada é conhecida como mundo pequeno. Essas redes tem uma entropia intermediária, entre o regular e o aleatório, pois são a princípio regulares até que suas arestas sejam redistribuídas de forma aleatória, gerando o crescimento na entropia. Devido a redistribuição, vértices que se encontravam distantes agora podem ser ligados tornando possível realizar um trajeto no grafo por menores caminhos, diminuindo o diâmetro e o coeficiente de *cluster* do grafo. Sendo assim, observa-se um menor comprimento de caminho médio provocado pelo efeito mundo pequeno (WANG; CHEN, 2003; LEWIS, 2009a; CAMINHA;

Figura 4 – Exemplo de grafo regular com entropia próxima ou igual a zero. Obs.: as arestas das bordas estão sendo omitidas por questão de visualização.



Fonte – Elaborado pelo autor

Figura 5 – Rede aleatória com entropia próxima ou igual a um. Obs.: as arestas das bordas estão sendo omitidas por questão de visualização.

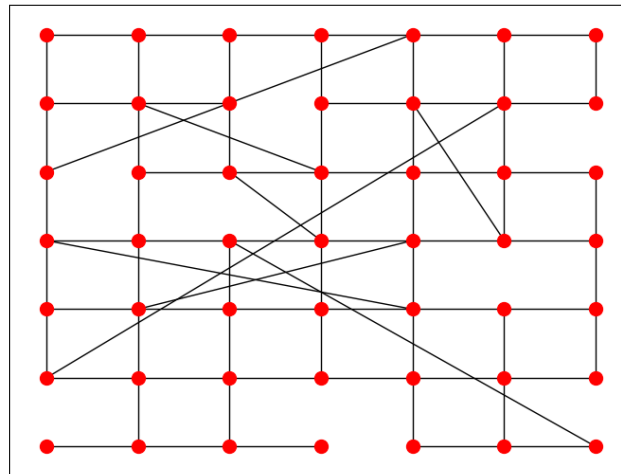


Fonte – Elaborado pelo autor

FURTADO, 2012). A seguir um exemplo com dois diferentes percentuais p de redistribuição de arestas nas Figuras 6 e 7.

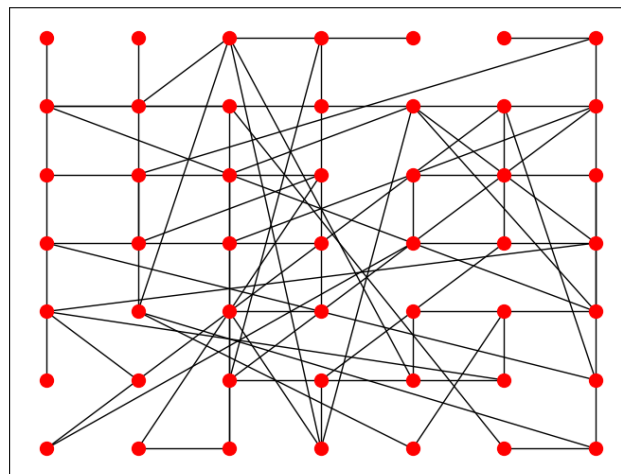
A próxima topologia é a rede livre de escala. Esta é um tipo de grafo que segue uma lei de potência e obedece duas regras de formação: a regra de crescimento, que consiste em uma rede que inicia-se com poucos vértices em que a cada espaço de tempo pode surgir um vértice novo; e a regra de *preferential attachment*, que ao adicionar um vértice novo, este vai se ligar a um vértice já existente de forma que o vértice escolhido obedeça uma probabilidade proporcional ao seu grau. Isso gera uma rede em que alguns vértices possuem alta concentração de arestas, enquanto outros só possuem uma, como na Figura 8. Dessa forma, caminhar nesse tipo de grafo

Figura 6 – Exemplo de grafo mundo pequeno com $p = 0,1$. Obs.: as arestas das bordas estão sendo omitidas por questão de visualização.



Fonte – Elaborado pelo autor

Figura 7 – Exemplo de grafo mundo pequeno com $p = 0,5$. Obs.: as arestas das bordas estão sendo omitidas por questão de visualização.

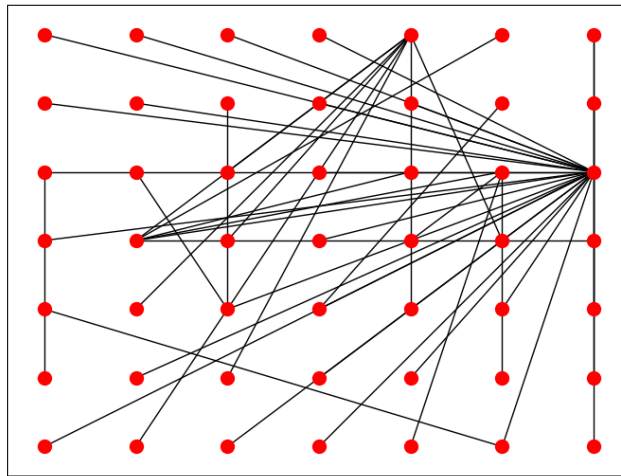


Fonte – Elaborado pelo autor

é mais acessível, pois ao chegar em um vértice conectado há maiores chances de encontrar o vértice destino. Essa topologia também pode representar alguns tipos de redes, como a internet, na qual a distribuição de probabilidade não é mais uniforme como no aleatório e apresenta um crescimento constante (WANG; CHEN, 2003; LEWIS, 2009a).

Para apresentar as propriedades em cada uma das topologias, pode ser observado o Quadro 1 abaixo que mostra cada uma em uma escala de três níveis, baixa, média e alta, com base no gráfico de radar na Figura 9.

Figura 8 – Exemplo de grafo livre de escala. Obs.: as arestas das bordas estão sendo omitidas por questão de visualização.



Fonte – Elaborado pelo autor

Quadro 1 – Comparação entre as topologias com base nas propriedades apresentadas.

Propriedade	Regular	Aleatória	Mundo pequeno	Livre de escala
Entropia	Baixo	Alta	Média	Alta
<i>Hub</i>	Baixo	Baixo	Baixo	Alto
Comp. de caminho médio	Baixo	Médio	Alto	Médio
Coeficiente de <i>cluster</i>	Baixo	Baixo	Alto	Médio

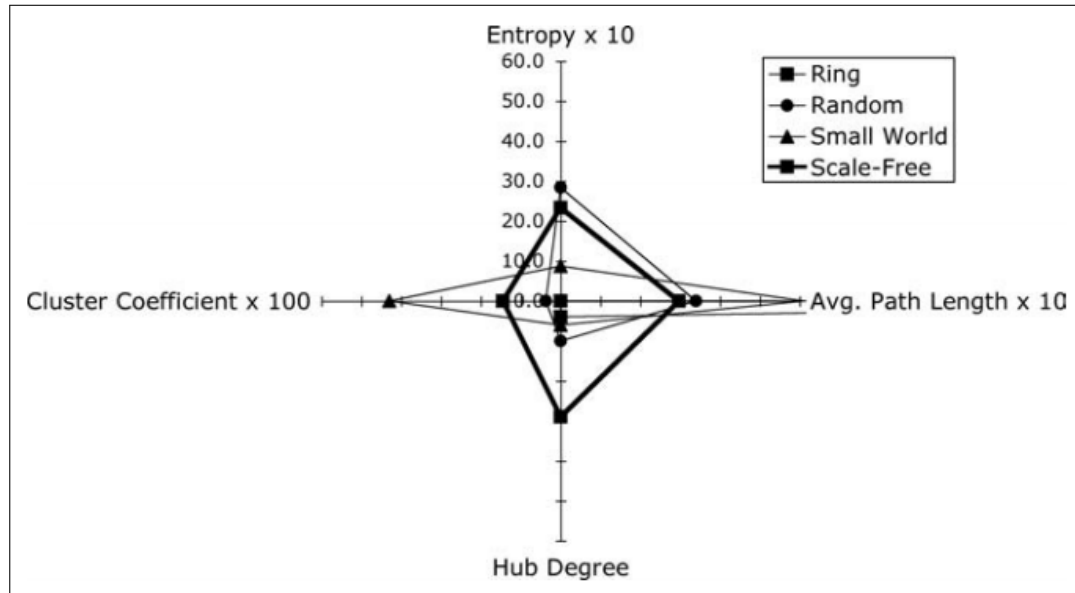
2.3 CAMINHOS E BUSCAS

Para compreender melhor o resultado de um algoritmo de busca, define-se caminho como qualquer sequência de vértices, de forma que cada par da sequência seja ligado por uma aresta e que não haja repetição de nenhum vértice, conforme ilustrado na Figura 10 (NEWMAN, 2010). Quando obtém-se o melhor caminho possível, este é chamado de caminho ótimo.

2.3.1 Algoritmos de Buscas

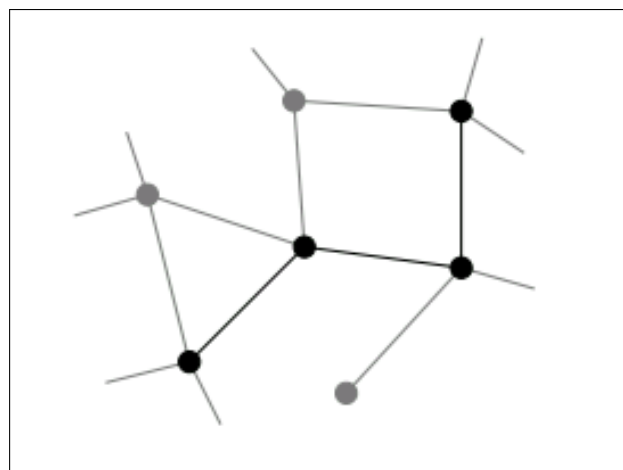
Diversos tipos de problemas podem ser descritos com busca em grafos, por exemplo, como o roteamento do tráfego de rede telefônica, o mapeamento das relações interpessoais em redes sociais ou, no contexto desse trabalho, a busca para encontrar o melhor caminho em uma cidade. Devido a variedade de problemas de busca, é necessário o uso de algoritmos que sejam capazes de encontrar uma solução ótima para o problema em tempo viável (HART; NILSSON; RAPHAEL, 1968). Portanto, utilizou-se o algoritmo A* que é um tipo de busca informada, ou busca heurística com desempenho e soluções satisfatórios.

Figura 9 – Propriedade dos grafos *Ring* (regular), *Random* (Aleatório), *Small World* (Mundo pequeno), *Scale free* (Livre de escala).



Fonte – (LEWIS, 2009b)

Figura 10 – Exemplo de caminho.



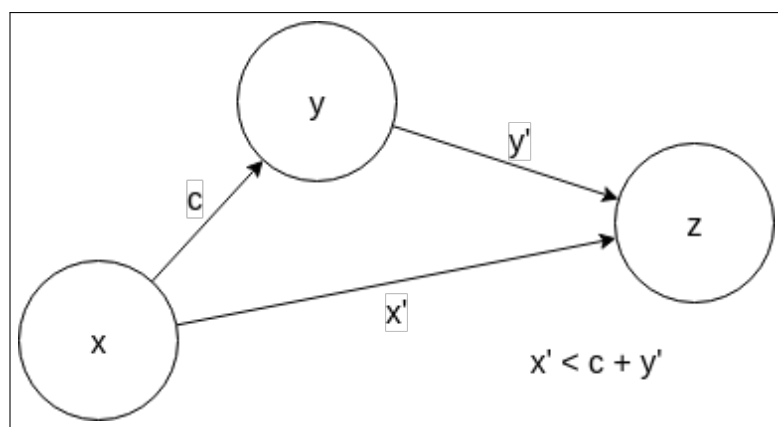
Fonte – (NEWMAN, 2010)

2.3.1.1 Algioritmo Heurístico

Compreendendo um algoritmo heurístico, definidas estas como funções que resultam em estimativas de uma solução real. No caso deste trabalho são estimativas que tentam calcular o valor real de uma medida de distância. Por exemplo, quando se precisa do menor caminho entre uma loja e outra dentro de um shopping, provavelmente o caminho não será uma linha reta. Pode-se realizar essa inferência por haver vários obstáculos, como paredes, pessoas e outros objetos, porém é possível estimar qual a distância real a partir da heurística que informa

a distância em linha reta. Se essa solução avaliada for sempre menor que a solução real para determinado problema, têm-se uma heurística admissível. Outra propriedade da heurística é a consistência que remete à regra de desigualdade de triângulos, demonstrado na figura 11, esta afirma que ao sair de um ponto x e chegar em outro y , a estimativa x' de solução a partir de x sempre será menor que o custo c de se chegar em y partindo de x somado a estimativa y' observada de y (RUSSEL, 2004).

Figura 11 – Demonstração da propriedade da consistência em uma heurística definida como uma função de distância euclidiana.



Fonte – Elaborado pelo autor

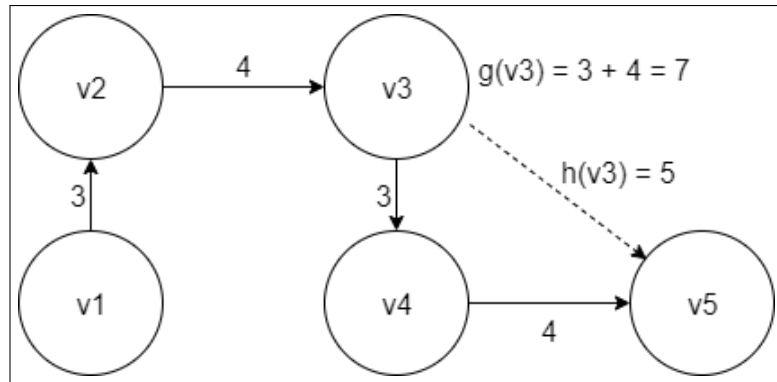
2.3.1.2 Busca A*

Após entender algoritmos heurísticos, a busca heurística é aquela que utiliza de informações além das definições do problema para decidir qual o passo mais útil a ser seguido em determinado instante de uma busca (RUSSEL, 2004), ou seja, ela é atribuída a uma heurística. Então, utilizando a busca A*, é possível encontrar soluções ótimas ao se utilizar de uma função heurística admissível e consistente. A função heurística utilizada para o problema deste trabalho foi o cálculo da distância em linha reta com uma função euclidiana utilizada para um plano cartesiano, e a fórmula da distância de Haversine que calcula algo semelhante a linha reta em objetos esféricos como a terra.

Retomando a busca A*, o algoritmo avalia suas decisões por meio de uma função de avaliação $f(n) = g(n) + h(n)$, em que n representa um vértice e a função representa o custo de se escolher aquele vértice n como uma parte da solução para o caminho ótimo. Esse $f(n)$ pode ser decomposto em duas novas funções, $g(n)$ que representa o custo atual de se atingir aquele vértice n a partir da origem e $h(n)$ que é a própria função heurística de se chegar ao vértice objetivo a

partir do vértice n (HART; NILSSON; RAPHAEL, 1968). Um exemplo que ilustra a função de avaliação pode ser observado na Figura 12.

Figura 12 – Tendo a origem como o vértice v1 e o destino o vértice v5, durante a busca com o vértice v3 selecionado temos o valor em destaque de $g(v3)$ e de $h(v3)$ totalizando $f(v3) = 12$



Fonte – Elaborado pelo autor

O algoritmo funciona de forma que a partir do vértice inicial, se calcula o $f(n)$ de cada um dos seus vértices vizinhos e adiciona-se seus resultados numa lista chamada de fronteira. Dessa lista, é retirado o vértice com o menor valor de $f(n)$ selecionando-o para continuar a busca até que o vértice escolhido seja o vértice objetivo. Isso faz com que a busca sempre tenda a andar na direção do vértice objetivo, diminuindo a seleção, expansão, de vértices que não serão parte do caminho ótimo para o problema (RUSSEL, 2004; HART; NILSSON; RAPHAEL, 1968).

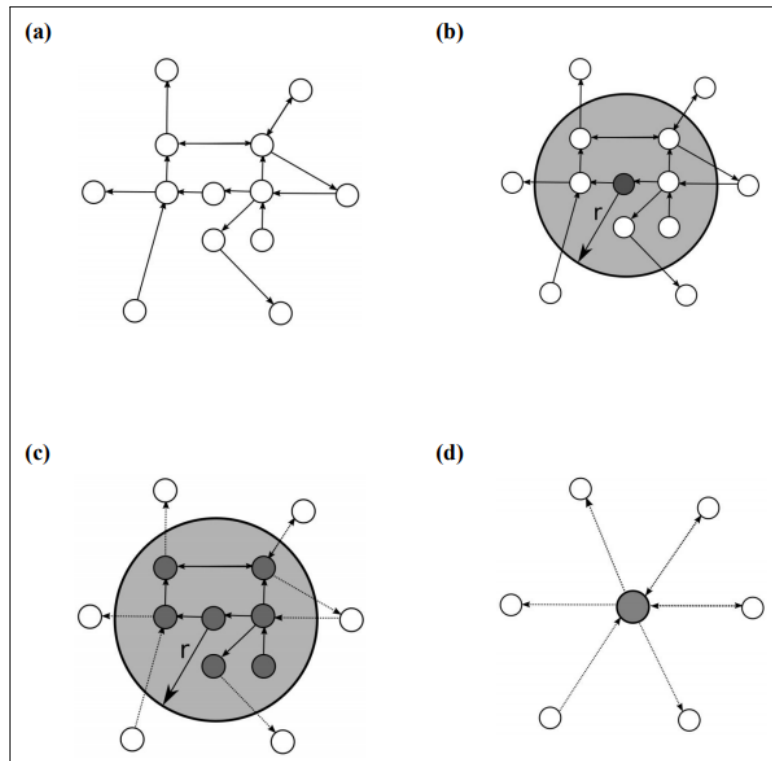
2.3.2 Colapsar ou Coarsening

O processo de colapsar é tal que, dado uma região de um grafo, consiste em transformar todos os vértices dessa região em um único vértice, onde as arestas incidentes a esse vértice são as arestas que se ligam com os vértices que não estão na região, quanto as arestas incidentes a vértices dentro da região, estas são colapsadas também (KARYPIS; KUMAR, 1995). A posição do vértice formado assumirá a posição do vértice mais central dada a região escolhida.

Um exemplo mais preciso do que consiste o colapso está na Figura 13. No item 13(a) é possível notar um grafo. Na Figura 13(b), é possível observar uma região selecionada para colapsar. Essa região é demarcada a partir da disponibilidade do usuário de ônibus para caminhar numa distância r . Na Figura 13(c), são destacados os vértices que serão colapsados em um único super vértice, de modo que cada vértice represente uma parada de ônibus. Por fim, na

Figura 13(d), o resultado de colapsar, quando um super vértice está presente no lugar de todos os vértices da Sub Figura (c).

Figura 13 – Processo de colapsar vértices.



Fonte – (PONTE; CAMINHA; FURTADO, 2016)

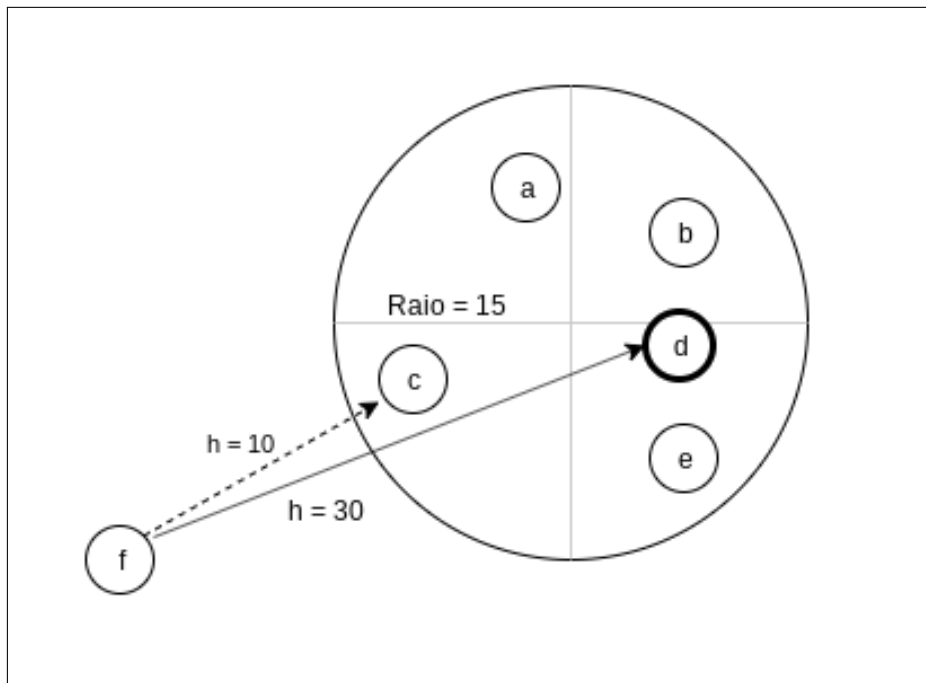
Ao encontrar um caminho após uma busca entre nós colapsados, tem-se uma aresta final, a qual foi utilizada para encontrar o super vértice de destino. Para resgatar qual o vértice destino real dentro da região colapsada, basta olhar em qual vértice incidia aquela aresta final antes de colapsar a região. Sendo assim o processo inverso de colapsar acontece para recuperar qual o verdadeiro destino.

2.3.2.1 Heurística não admissível

Ao colapsar os vértices de uma região e tomando-se como posição os valores do vértice mais central, o destino final não necessariamente será esse vértice. Desse comportamento observa-se um erro que pode variar de acordo com o raio da região, pois a posição do super vértice pode ser pior que a posição do vértice destino, sendo assim a heurística da linha reta não informará um resultado menor ou igual ao valor real, e sim, um valor que pode ser menor ou maior excedendo-se no máximo a um valor próximo ao diâmetro da região colapsada. Um exemplo pode ser visto na Figura 14, onde o raio com tamanho 15 pode proporcionar um erro

de no máximo 30, caso o vértice selecionado como central esteja numa extremidade e o vértice objetivo esteja na outra extremidade da região. A seta pontilhada demonstra a heurística correta e representa o vértice final. A seta sólida representa a heurística calculada, porém não é o vértice final. O vértice f representa a atual posição de busca e o d o vértice escolhido como mais central.

Figura 14 – Uma busca que encontra uma heurística maior que o resultado final escolhido.



Fonte – Elaborado pelo autor

2.4 ALGORITMO FLOYD-WARSHALL

Uma forma de se descobrir todos os caminhos possíveis de um grafo é utilizando o algoritmo de Floyd-Warshall que é de complexidade $O(V^3)$ onde V é número de vértices do grafo, por consequência os caminhos possíveis entre duas regiões específicas seria apenas iterar sobre o resultado. Para executar tal algoritmo é necessário uma estrutura de repetição com três laços aninhados e uma estrutura de dados de matriz $V \times V$ para armazenar os resultados (GAIOSO; PAULA *et al.*, 2013). Apesar da existência desse algoritmo, ele não pode ser utilizado por tornaria o problema muito mais complexo, já que itera sobre todos os nós do grafo, não somente duas regiões específicas. Isso é um comportamento que não pode se evitar, pois não seria possível reduzir a busca já que não se sabe quais os vértices que serão utilizados antes do tempo de execução.

3 TRABALHOS RELACIONADOS

A busca de um melhor caminho entre MOMD é um tema discutido no trabalho de Ponte *et al* (2016). No trabalho, foi abordada uma estratégia para realizar buscas em redes de ônibus. A partir da disponibilidade do usuário de ônibus de caminhar, o número de paradas de ônibus poderia variar na origem e no destino, de forma que a busca tenha que ser executada entre duas áreas. O processo realizado foi de colapsar os vértices de origem possíveis em um único super vértice, fazendo o mesmo no destino, logo a busca executada fora somente entre dois vértices. Foi mostrado que a estratégia executada foi satisfatória quanto ao tempo e a acurácia, ou seja, apesar do resultado não ser ótimo, o algoritmo continua satisfatório.

O trabalho de Ponte *et al* (2016) comparou sua estratégia com um método que foi chamado de Força Bruta. Nesse método são feitas n^2 buscas, para n igual ao número de vértices na origem e no destino, onde cada nó de origem é testado com cada nó de destino. Isso não significa que não poderiam ser dois números distintos, porém foram assumidos origem e destino como n . No trabalho realizado pelos referidos autores, eles obtiveram como resposta que colapsar os vértices produz resultados com pouca variação de tempo de execução, mesmo aumentando o raio de disposição do usuário de transporte, ou seja, com o aumento de vértices nas regiões, não há diferença significativa no tempo de execução. Porém, ao utilizar o método de Força Bruta como comparativo à sua pesquisa, eles observaram que o desempenho foi bastante reduzido com o aumento do raio, resultando em um aumento significativo no tempo de execução para poucas alterações incrementais no raio.

A Acurácia empregada pelos autores mencionados logo acima foi outro resultado importante para a realização deste projeto de pesquisa. A partir dessa métrica, foi criada uma medida para destacar quantos caminhos eram ótimos ao utilizar a estratégia de colapsar. Para isto, foi necessário executar o método de Força Bruta, citado anteriormente. Como resposta observou-se que ao aumentar o raio a acurácia caiu. Entretanto também foi possível observar que o erro médio das rotas não ótimas não foi muito significativo, ou seja, apesar de não ser mais um caminho ótimo possui resultado próximo do ótimo (PONTE; CAMINHA; FURTADO, 2016).

O problema de MOMD também foi solucionado por meio de otimização em outro trabalho. A função objetivo é uma minimização do custo total de arestas. A motivação para este trabalho também foi de uso de redes de transporte e foi provado ser um problema NP-Completo que pode ser fundamentado pelo modelo SAT, baseado-se em preservação de fluxo. Foi observado que não haviam modelos com tempo viável até o determinado momento deste

trabalho de otimização (BARTÁK; DOVIER; ZHOU, 2016).

Além disso, encontrar bons caminhos de forma eficiente podem também afetar positivamente a redução da criminalidade, visto que o fluxo de pessoas nas cidades influenciam a incidência de crimes. Dessa forma, entender esse tipo de fluxo pode influenciar no planejamento de medidas interventivas de segurança pública, permitindo um melhor direcionamento do policiamento para a prevenção e remediação de crimes (CAMINHA *et al.*, 2017).

Outro estudos também destacam que o melhor entendimento dessas redes complexas de cidades podem aprimorar os fluxos da rede de transporte público, como retirar gargalos ou sugerir novas rotas mais rápidas ou menores (CAMINHA *et al.*, 2016). Esse mesmo estudo também propôs maneiras de se coletar informações de origem e destino a partir de onde o usuário de ônibus passa seu vale transporte.

Apesar de muitas vezes procurar o melhor caminho, nem sempre esse é o objetivo do usuário de ônibus. Na verdade a maioria dos usuários preferem tomar caminhos mais seguros que caminhos mais rápidos passando pelo terminal. Isso se deve principalmente que 98% das linhas de ônibus passam por regiões com mais de dez crimes (SULLIVAN *et al.*, 2017).

4 METODOLOGIA E CONJUNTO DE DADOS

Para realizar o trabalho, foi explorado um conjuntos de dados de grafos que representam cidades reais. Os dados das vias da cidade foram coletados a partir do software de mapeamento de código aberto *OpenStreetMap*. Utilizando sua *Application Programming Interface (API)* online, foi feito o *download* de grafos de cidades em formato de arquivo *Extensible Markup Language (XML)* e convertidos em uma arquivo com estrutura própria para diminuir o consumo de dados e facilitar a leitura. Nesses arquivos são armazenadas informações como ruas, nomes de ruas, cruzamentos georreferenciados e identificadores.

A partir desses arquivos, foram montados os grafos para cada cidade, onde cada vértice do grafo representa uma esquina ou curva. Já as arestas são as ruas entre cada esquina, formando assim um grafo semi-planar com uma média, entre as três cidades, de 62 mil vértices e 110 mil arestas. Observar Tabela 1 com os dados de vértices e arestas para cada cidade.

Tabela 1 – Número de vértices e arestas para cada grafo de cidade baixada

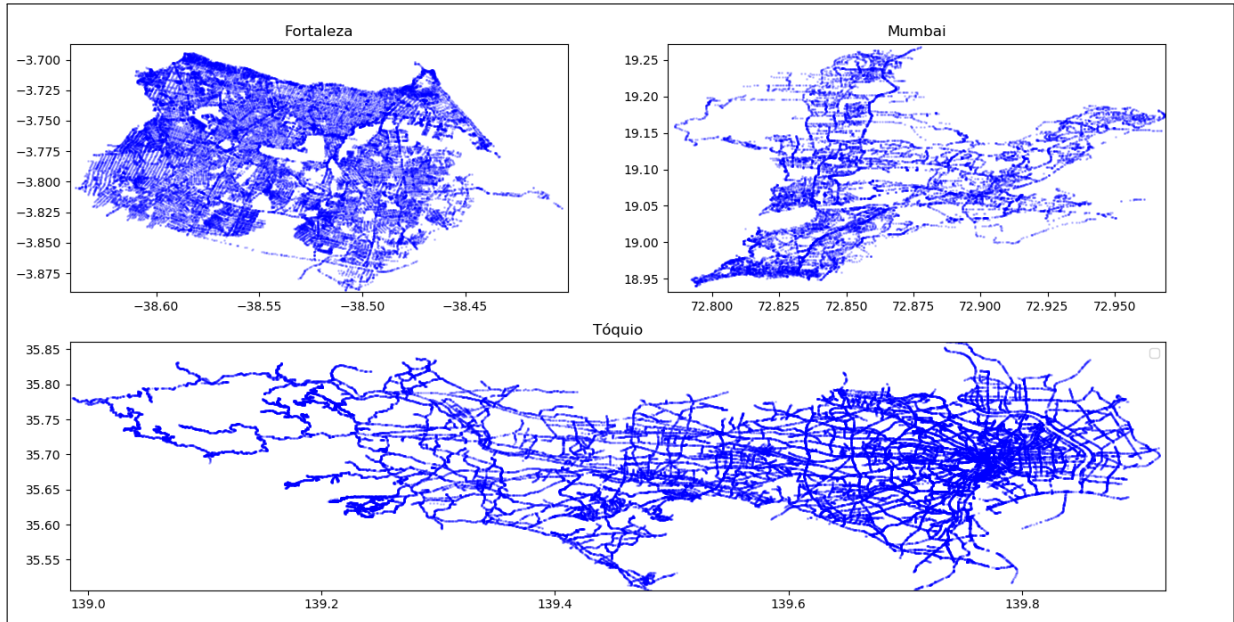
Propriedade	Número de vértices	Número de arestas
Mumbai	24388	43983
Fortaleza	47138	104658
Tóquio	116057	183573

Em paralelo sobre o segundo conjunto de dados, foi desenvolvido um gerador de grafos que obedece a mesma estrutura de arquivos de armazenamento das cidades. Dessa forma foram gerados de grafos em quatro topologias diferentes. As topologias utilizadas foram aleatório, regular, *small world* (com dois graus de aleatoriedade diferentes) e livre de escala. Em todos os casos foram gerados grafos com distribuição espacial em formato de grade com tamanho de 10 mil vértices. Os algoritmos de geração foram baseados no trabalho de Lewis (2009).

Neste contexto, foi necessário ainda realizar uma limpeza nos grafos das cidades baixadas, pois nem sempre o grafo representava o seu maior componente conexo ou apresentava vértices em alguma posição inválida, dessa forma evitando que algumas buscas pudessem encontrar o devido caminho. A limpeza consistiu em executar uma busca pelo maior componente conexo de cada grafo e salvá-los em arquivos distintos com o mesmo formato de leitura. De cada novo arquivo foram selecionados aleatoriamente dez mil pares de vértices de Origem e Destino (OD) para cada grafo e armazenados em um novo arquivo. Vale ressaltar que cada par representa uma busca dentro do grafo em questão e portanto uma origem para um indivíduo em um ponto

qualquer da cidade, representado por um vértice, com seu destino em outro ponto qualquer da cidade, representado por outro vértice. A Figura 15 ilustra os grafos que representam a estrutura das vias das cidades estudadas.

Figura 15 – Mapas das cidades representados em vértices, onde os eixos são as latitudes e longitudes das cidades.



Fonte – Elaborado pelo autor

Dado os grafos das cidades, foi possível retirar algumas propriedades básicas a respeito de cada uma e suas características como redes complexas e compará-las a redes sintéticas geradas com as topologias apresentadas no tópico 2.2.2 com a quantidade de 10.000 vértices em que os vértices se distribuem em formato de grade. Abordando a entropia, foi possível observar que as cidades se aproximam a uma topologia de rede de mundo pequeno que são redes semelhantes a redes regulares, porém com algum grau de aleatoriedade. Ao se analisar a quantidade a propriedade de *Hub*, as cidades se mantiveram mais uma vez próximas as redes de mundo pequeno e também de redes regulares. Por último foi notado que a respeito do coeficiente de *cluster*, os grafos das cidades se localizam entre as os grafos do tipo mundo pequeno mais uma vez e aleatório, simbolizando uma grande similaridade com as redes de mundo pequeno. A propriedade de Comprimento de caminho mínimo não pode ser analisada devido ao seu custo de execução que foi limitado pelo tempo.

A estratégia de Força Bruta foi utilizada como uma variante do algoritmo de *Floyd-Warshall*, compreendendo que a tabela com os registros dos melhores caminhos de busca é

construída somente com as regiões de origem e destino. Apesar disso, o algoritmo continua com a complexidade de tempo cúbica, mostrando-se ineficiente. Entretanto, a estratégia de Força Bruta foi utilizado para efeito de comparação, permitindo, então, apontar os resultados que fossem ótimos e o ganho de tempo da estratégia de Colapsar. Além disso, é importante salientar que a Força Bruta representa uma busca entre todas as origens em direção a todos os destinos, de forma que seja realizado uma quantidade de buscas em função do número de vértices na origem e no destino. Sobre o Colapsar, este permite que ao realizar a unificação de todos os vértices de origem em uma única origem, assim como executar o mesmo procedimento com todos os vértices de destino, possa ser proporcionada a realização de uma única busca.

Foram realizadas buscas para cinco diferentes raios para cada cidade: 50, 100, 150, 200 e 250 metros; com dez mil pares de OD totalizando 50.000 buscas para cada cidade, um total de 150.000 buscas por estratégia, somando 300.000 buscas. Essas buscas foram aglomeradas em 30 execuções de dez mil pares de OD cada.

Além disso, os parâmetros citados acima buscam simular aspectos de cidades e pessoas reais, em que as buscas representam o movimento das pessoas dentro da cidade. Ademais, a variação dos valores de raio refere-se as pessoas que podem ter variações nas suas estruturas físicas. Por exemplo, idosos possuem um andar mais lentificado e com menor propensão para andar do que os adolescentes, estes, por sua vez, possuem uma maior disposição para realizar trajetos a longas distâncias, o que acarreta maiores possibilidades de variações de origens e destinos disponíveis nos itinerários. Ainda sobre esse assunto, ao afirmar sobre a quantidades de pares de ODs, este se refere a representação das pessoas se locomovendo de todos os lugares das cidades.

Para executar os algoritmos de busca, foi utilizado o mesmo servidor para processar as duas estratégias para a mesma cidade, ou seja, a estratégia de colapsar executada na cidade de Fortaleza foi rodada na mesma máquina que o algoritmo de força bruta para todos os raios de busca. O código executado foi desenvolvido em C# da plataforma *dotnet core* versão 2.2 em ambiente Linux 18.04 LTS com as seguintes configurações de *hardware* na Tabela 2.

Dando continuidade às execuções, uma rotina, escrita em *bash script* para Linux, permite que cada uma das 30 execuções sejam efetuadas automaticamente gerando dois arquivos de resultado para cada processamento. O primeiro arquivo de resultado diz respeito ao *log* do programa com dados de duração, erros sistêmicos, estado de execução (Iniciado, em execução, erro, finalizado) e progresso dentre as 10.000 buscas. O segundo arquivo é o principal que contém as informações para cada OD na ordem da lista ordenada a seguir:

Tabela 2 – Configuração do servidor utilizado

Dispositivo	<i>Hardware</i>	Descrição
/0/0	Memória	62GiB <i>System memory</i>
/0/1	processador	Intel(R) Xeon(R) CPU E5-2630 v4 @ 2.20GHz
/0/2	processador	Intel(R) Xeon(R) CPU E5-2630 v4 @ 2.20GHz
/0/3	processador	Intel(R) Xeon(R) CPU E5-2630 v4 @ 2.20GHz
/0/4	processador	Intel(R) Xeon(R) CPU E5-2630 v4 @ 2.20GHz
/0/5	processador	Intel(R) Xeon(R) CPU E5-2630 v4 @ 2.20GHz
/0/6	processador	Intel(R) Xeon(R) CPU E5-2630 v4 @ 2.20GHz
/0/7	processador	Intel(R) Xeon(R) CPU E5-2630 v4 @ 2.20GHz
/0/8	processador	Intel(R) Xeon(R) CPU E5-2630 v4 @ 2.20GHz

1. Origem, vértice de origem de onde foi traçado o raio para a região inicial
2. Destino, vértice de destino de onde foi traçado o raio para a região final
3. Status, se a busca encontrou o destino ou enfrentou algum problema
4. Saltos, refere-se a quantos vértices formaram o caminho encontrado
5. Expansões, o número de vértices que foram visitados até que o destino fosse encontrado
6. Tempo, duração para que se realizasse a busca naquele par OD
7. Distância, o tamanho do caminho encontrado entre a origem e o destino
8. Caminho, o caminho resultado, sendo o primeiro vértice o que foi selecionado na origem e o último vértice o que foi selecionado no destino

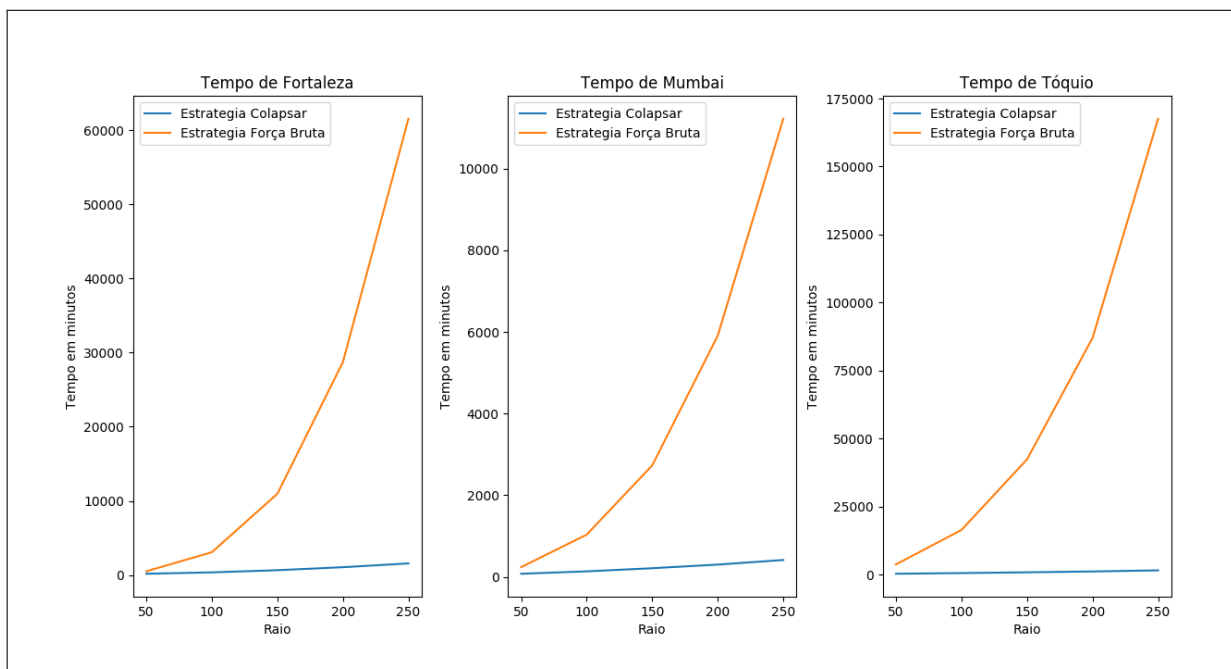
Tendo em vista a configuração de *hardware*, foram disponibilizados oito núcleos lógicos com aproximadamente 60 GB de memória *RAM* para cada execução, sendo assim o algoritmo desenvolvido possui suporte a múltiplas *threads* com uma estratégia de dividir o total de buscas para cada *thread* com o resto, em caso de divisão não exata para a última *thread*. Sendo assim, cada linha de execução realizou 1250 buscas e cada uma possuía sua própria instância do grafo da cidade que está em execução. Para o dado de tempo total, foi somado o tempo de cada busca para cada linha de execução podendo, por exemplo, realizar dois anos de busca em apenas três meses com a paralelização das buscas.

No contexto de validação do código, foram escritos 104 testes unitários e o versionamento foi garantido pela ferramenta *Git*. O código do software desenvolvido está em (FILHO, 2019) e está disponível para download e futuras implementações.

5 RESULTADOS

Como resultado, foram geradas cinco métricas apresentadas em gráficos, para cada cidade. Para justificar o uso da estratégia de colapsar, como métrica principal foi escolhido o tempo de execução. Como dito no tópico anterior o registro do tempo foi emitido em cada caminho calculado, permitindo somar o tempo em um total para cada estratégia em cada cidade para cada raio. Pode-se observar os gráficos de cada cidade na Figura 16 com o tempo de execução em minutos em função do raio e também na Figura 17 com o logaritmo do tempo em função do raio.

Figura 16 – Tempo de execução para cada cidade em função do raio.

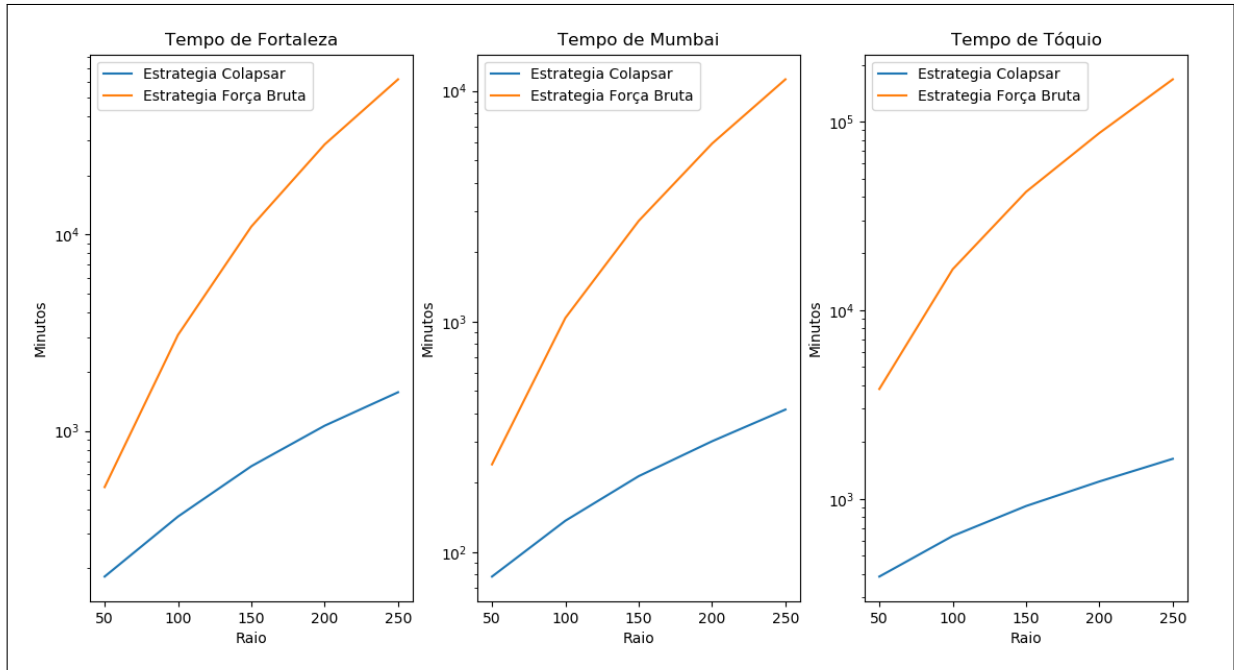


Fonte – Elaborado pelo autor

Um comportamento padrão surgiu nas três cidades, podendo observar que para um raio não tão grande, como de 50 metros, não é possível ver muita diferença na utilização da estratégia. Porém ao iniciar o crescimento do raio nota-se que enquanto os dados de Colapsar se mantiveram quase constantes, os da Força Bruta cresceram de forma exponencial, onde para o maior raio, atingindo em Tóquio. A maior cidade em quantidade de vértices, onde o tempo teve uma duração de 121 dias, enquanto a estratégia de Colapsar precisou de somente 27 horas, como pode ser observado na Tabela 3.

Ainda a respeito do tempo, é notável que há uma relação direta entre a densidade do grafo e o aumento do tempo para a estratégia de Força Bruta, pois não só se aumenta o tamanho

Figura 17 – Logaritmo do tempo de execução para cada cidade em função do raio.



Fonte – Elaborado pelo autor

Tabela 3 – Tempo em horas e dias para execução de cada estratégia para cada cidade

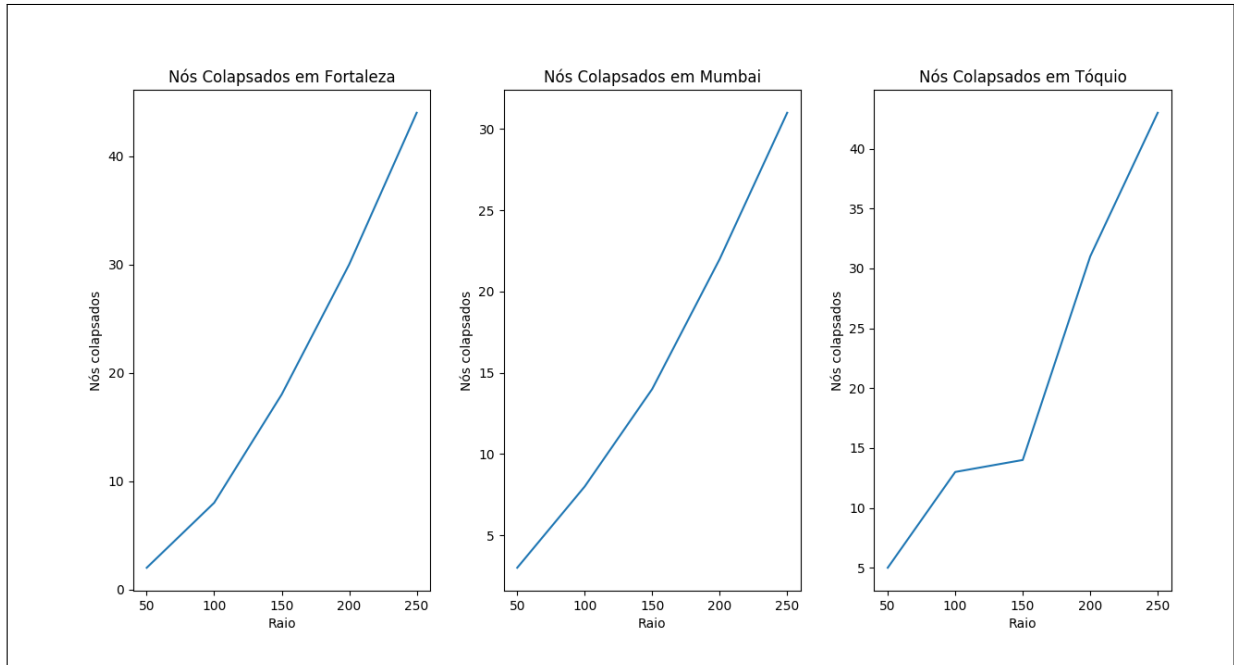
Estratégia	Fortaleza	Mumbai	Tóquio
Colapsar	26 h	7 h	27 h
Força Bruta	42 dias	8 dias	121 dias

dos caminhos, mas a quantidade de nós colapsados para cada raio. Como se pode observar na Figura 18, houve uma semelhança entre Fortaleza e Tóquio no maior raio, porém mudou nos anteriores. Observando esse fator de quantidade de nós colapsados, tem-se que não há influência direta na acurácia, pois ao observar a mudança do raio 100 para 150 em que houve um baixo aumento de nós colapsados, não se pode verificar o mesmo comportamento de constância na acurácia apresentada na Figura 19. Apesar disso foi verificada uma constância no gráfico em intervalos de raio diferentes.

Quanto a acurácia, nota-se que há uma grande queda para a cidade de Fortaleza, similar ao apresentado por Ponte *et al* (2016), porém para as demais cidades não há uma queda tão grave, mostrando que o formato da rede influencia diretamente nessa propriedade. Contudo o mesmo não pode ser dito para o tamanho, já que Mumbai, cidade menor, e Tóquio, cidade maior obtiveram resultados melhores.

Falando de erro máximo, na Figura 20 nota-se que os caminhos encontrados tiveram como erro máximo um valor equivalente ao raio, ou seja, os erros vão ser proporcionais ao aumento da distância. Tornando o erro máximo previsível.

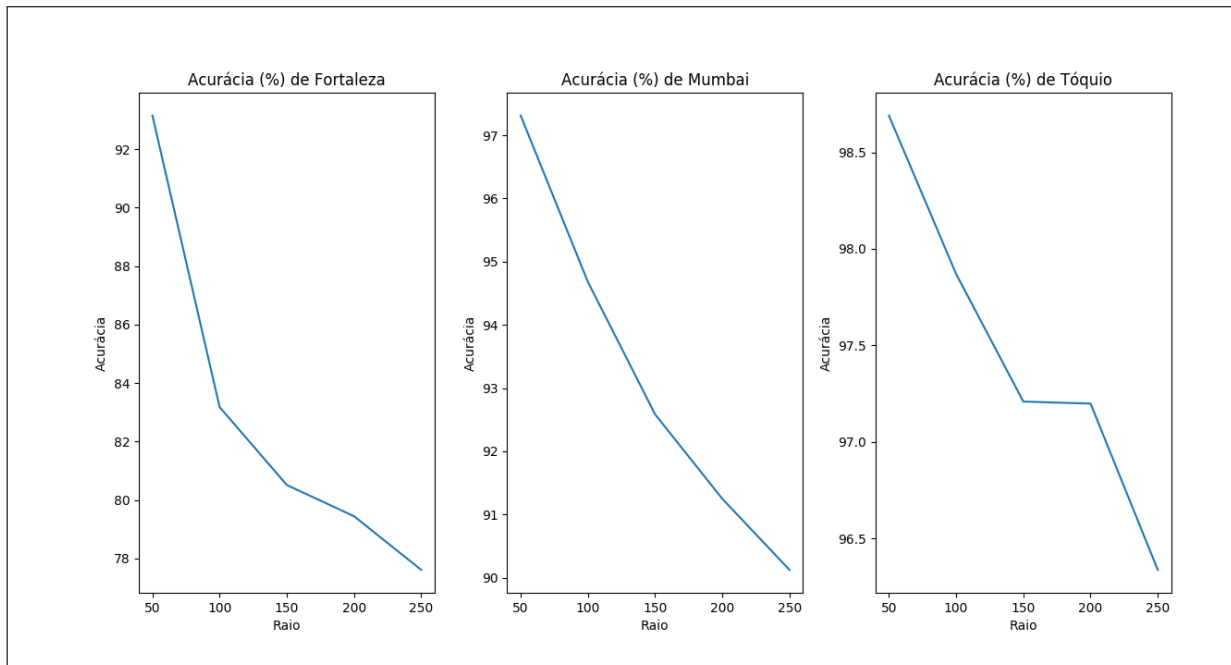
Figura 18 – Quantidade de nós colapsados por cidade.



Fonte – Elaborado pelo autor

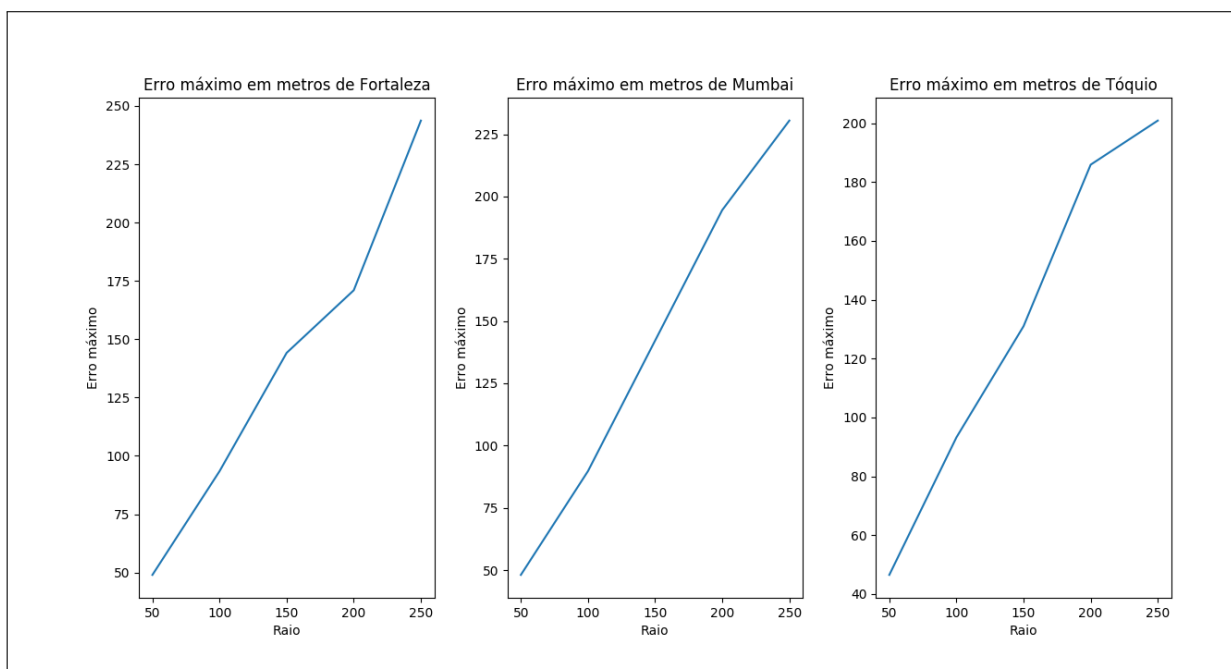
Outro fator positivo para a generalização do modelo de Ponte *et al* (2016), é que apesar de a estratégia não demonstrar resultados sempre ótimos, como é visto nos gráficos de acurácia, o erro médio da Figura 21 não chega a ser maior que 50 metros, trazendo a situação em que os caminhos não ótimos encontrados possuem resultados quase ótimos. Já que para um contexto de cidades 50 metros não são valores significativos para quando se tem trajetos com quilômetros de distância para percorrer.

Figura 19 – Acurácia por cidade. Representando o percentual de caminhos ótimos formados



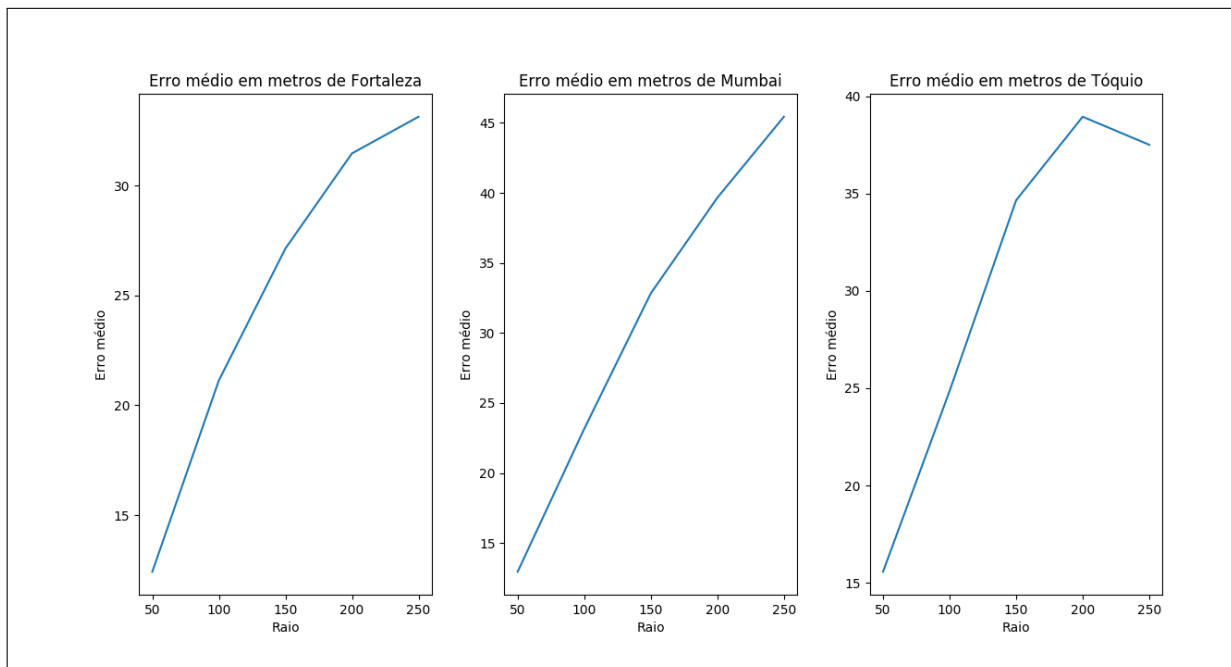
Fonte – Elaborado pelo autor

Figura 20 – Erro máximo por cidade.



Fonte – Elaborado pelo autor

Figura 21 – Erro médio por cidade.



Fonte – Elaborado pelo autor

6 CONCLUSÕES E TRABALHOS FUTUROS

A estratégia de colapsar vértices pra fazer só uma busca, mostrou que diminuiu consideravelmente o tempo de execução do algoritmo. Deste modo, constatou-se que os resultados obtidos por Ponte *et al* (2016), no grafo da rede de ônibus de Fortaleza, foram estendidos nos resultados desse estudo. Além disso, observa-se que uma busca entre múltiplas origens e destinos são mais performáticas, tendo em vista um erro satisfatório que é menor que o raio de execução, o que permite inferir a existência de uma metodologia viável. Ademais, embora algumas buscas encontrarem algum erro, essas não passam de 90% de acurácia para duas das cidades utilizadas, mesmo para Fortaleza que teve o menor resultado de acurácia, ainda encontra-se pequenos erros ao se analisar o contexto de cidades inteiras.

Além disso, deve ser salientado uma ressalva sobre a aplicação dessa estratégia, visto que o erro máximo permitido cresce em função ao raio. Já no cenário descrito nesse trabalho, é a distância que uma pessoa esta disposta a se locomover que interfere, tornando possível afirmar que, quando há crescimento do raio, há também aumento do erro. Por conta disso, é importante ter cautela e limitar o tamanho do raio.

6.1 CONTRIBUIÇÕES DO TRABALHO

Os resultados deste estudo apontam que é possível estender a aplicação de Ponte *et al* (2016) no grafo de ônibus de Fortaleza em outros cenários, sendo, então, admissível aplicá-la em cidades distintas com formatos e tamanhos diferentes que variam de 23 mil a 116 mil vértices.

6.2 LIMITAÇÕES

Em decorrência de limitações de tempo para a execução desse estudo, não foi possível avaliar raios maiores, como extensões de 500 ou 1000 metros, assim como outros que foram utilizados por Ponte *et al* (2016). Visto que, as redes utilizadas possuem tamanhos maiores do que as redes do estudo citado acima, o que tornaria necessário um recurso computacional que pudesse abranger essa análise.

6.3 TRABALHOS FUTUROS

Os estudos futuros poderão executar o mesmo procedimento para os grafos sintéticos utilizados. De forma que seja permitido comparar as propriedades das topologias, observando

qual possui um melhor desempenho e qual topologia as cidades deveriam adotar para que possa executar melhor a estratégia de Colapsar. Ademais, poderão também contemplar a avaliação de maiores raios de execução, além de diferentes e maiores cidades das que foram utilizadas.

REFERÊNCIAS

- ALBERT, R.; BARABÁSI, A.-L. Statistical mechanics of complex networks. **Reviews of modern physics**, APS, v. 74, n. 1, p. 47, 2002. Disponível em: <<http://barabasi.com/f/103.pdf>>.
- ANTIQUEIRA, L.; NUNES, M. d. G. V.; JR, O. O.; COSTA, L. d. F. Modelando textos como redes complexas. In: **Anais do III Workshop em Tecnologia da Informação e da Linguagem Humana**. [s.n.], 2005. p. 22–26. Disponível em: <<http://nilc.icmc.usp.br/til/til2005/arq0054.pdf>>.
- BARTÁK, R.; DOVIER, A.; ZHOU, N.-F. Multiple-origin-multiple-destination path finding with minimal arc usage: complexity and models. In: IEEE. **2016 IEEE 28th International Conference on Tools with Artificial Intelligence (ICTAI)**. [S.I.], 2016. p. 91–97.
- BAST, H.; DELLING, D.; GOLDBERG, A.; MÜLLER-HANNEMANN, M.; PAJOR, T.; SANDERS, P.; WAGNER, D.; WERNECK, R. F. Route planning in transportation networks. In: **Algorithm engineering**. [S.I.]: Springer, 2016. p. 19–80.
- CAMINHA, C.; FURTADO, V. Modeling user reports in crowdmaps as a complex network. In: **Proceedings of 21st International World Wide Web Conference. Citeseer**. [S.I.: s.n.], 2012.
- CAMINHA, C.; FURTADO, V.; PEQUENO, T. H.; PONTE, C.; MELO, H. P.; OLIVEIRA, E. A.; JR, J. S. A. Human mobility in large cities as a proxy for crime. **PloS one**, Public Library of Science, v. 12, n. 2, p. e0171609, 2017.
- CAMINHA, C.; FURTADO, V.; PINHEIRO, V.; SILVA, C. Micro-interventions in urban transportation from pattern discovery on the flow of passengers and on the bus network. In: IEEE. **2016 IEEE International Smart Cities Conference (ISC2)**. [S.I.], 2016. p. 1–6.
- CHRISPINO, A.; LIMA, L. S. de; ALBUQUERQUE, M. B. de; FREITAS, A. C. C. de; SILVA, M. A. F. B. da. A área cts no brasil vista como rede social: onde aprendemos? **Ciência & Educação**, Universidade Estadual Paulista, v. 19, n. 2, p. 455–479, 2013. Disponível em: <<https://dialnet.unirioja.es/servlet/articulo?codigo=5285680>>.
- FEOFILOFF, P.; KOHAYAKAWA, Y.; WAKABAYASHI, Y. Uma introdução sucinta à teoria dos grafos. 2011.
- FILHO, D. A. A. **Colapsar**. 2019. Disponível em: <https://github.com/Daniel-Aragao/Colapsar_cs>.
- GAIOSO, R.; PAULA, L. *et al.* Paralelização do algoritmo floyd-warshall usando gpu. **SIMPÓSIO EM SISTEMAS COMPUTACIONAIS. XIV**, 2013.
- GOLDBERG, A. V.; WERNECK, R. F. F. Computing point-to-point shortest paths from external memory. In: **ALENEX/ANALCO**. [S.I.: s.n.], 2005. p. 26–40.
- HART, P. E.; NILSSON, N. J.; RAPHAEL, B. A formal basis for the heuristic determination of minimum cost paths. **IEEE transactions on Systems Science and Cybernetics**, IEEE, v. 4, n. 2, p. 100–107, 1968.
- HENZINGER, M.; KRINNINGER, S.; NANONGKAI, D. A deterministic almost-tight distributed algorithm for approximating single-source shortest paths. In: ACM. **Proceedings of the forty-eighth annual ACM symposium on Theory of Computing**. [S.I.], 2016. p. 489–498.

- KARYPIS, G.; KUMAR, V. Metis-unstructured graph partitioning and sparse matrix ordering system.(1995). **University of Minnesota, Department of Computer Science and Engineering**, 1995. Disponível em: <<https://dm.kaist.ac.kr/kse625/resources/metis.pdf>>.
- LEWIS, T. G. Graphs. In: _____. **Network science: theory and practice**. Haboken, New Jersey: John Wiley & Sons, Inc., 2009. cap. 2.
- LEWIS, T. G. Scale-free network. In: _____. **Network science: theory and practice**. Haboken, New Jersey: John Wiley & Sons, Inc., 2009. cap. 6.
- NEWMAN, M. E. J. **Networks: An Introduction**. New York: Oxford University Press, 2010.
- OLIVEIRA, R.; ARAÚJO, J.; MEDEIROS, F.; BRITO, A. Monitoramento das interações dos aprendizes na rede social twitter como apoio ao processo de mediação docente. In: **Brazilian Workshop on Social Network Analysis and Mining, BrasNAM**. [S.l.: s.n.], 2012. p. 130–148.
- PONTE, C.; CAMINHA, C.; FURTADO, V. Busca de melhor caminho entre dois pontos quando múltiplas origens e múltiplos destinos são possíveis. **Recife: ENIAC**, 2016.
- RAVASZ, E.; BARABÁSI, A.-L. Hierarchical organization in complex networks. **Physical review E**, APS, v. 67, n. 2, p. 026112, 2003.
- RUSSEL, P. N. S. Além da busca clássica. In: _____. **Inteligência Artificial**. Rio de Janeiro: Elsevier Editora Ltda, 2004. (3), cap. 4.
- SAYAMA, H. Introduction. In: _____. **Introduction to the Modeling and Analysis of Complex Systems**. Open SUNY Textbooks, 2015. cap. 1. Disponível em: <<https://textbooks.opensuny.org/introduction-to-the-modeling-and-analysis-of-complex-systems/>>.
- SULLIVAN, D.; CAMINHA, C.; MELO, H. P.; FURTADO, V. Towards understanding the impact of crime on the choice of route by a bus passenger. In: SPRINGER. **EPIA Conference on Artificial Intelligence**. [S.l.], 2017. p. 41–50.
- VAJAPEYAM, S. Understanding shannon's entropy metric for information. **arXiv preprint arXiv:1405.2061**, 2014. Disponível em: <<https://arxiv.org/abs/1405.206125/04/2019>>.
- WANG, X. F.; CHEN, G. Complex networks: small-world, scale-free and beyond. **IEEE circuits and systems magazine**, IEEE, v. 3, n. 1, p. 6–20, 2003. Disponível em: <<http://cs.enr.uky.edu/~silvestri/teaching/complexNetworks/papers/Wang-and-Chen-Small-world-and-Scale-Free.pdf>>.